

بهینه‌سازی چندهدفه بهره‌برداری از مخزن سد با درنظر گرفتن رسوبروزدایی و تأمین نیاز پایین‌دست به کمک الگوریتم رقابت استعماری

سعید اشرف واقفی^۱

* سید جمشید موسوی^۲

بنفشه زهرابی^۳

چکیده

بیشتر مطالعات رسوبروزدایی از مخازن سدها از یک سو، به طور مستقل و جداگانه از از مسئله بهره‌برداری از مخزن به موضوع می‌پردازند و از طرف دیگر، مدل‌های بهینه‌سازی بهره‌برداری از سدهای مخزنی نیز تاکنون و به طور عمده با تأکید بر اهداف تأمین نیازهای آبی، انرژی، سیلاب و زیست محیطی و بدون توجه به مسئله خروج رسوبرات ورودی به مخزن توسعه یافته‌اند که این مسئله منجر به ناهمانگی بین تصمیم‌های مرتبط با رسوبروزدایی و سایر اهداف بهره‌برداری از مخازن سدها می‌شود. در این تحقیق براساس یک دیدگاه نوین تلفیقی، یک مدل بهینه‌سازی بهره‌برداری از مخزن سد ارائه شده است که در آن همزمان، دو هدف تأمین نیاز پایین‌دست و خروج رسوبرات از مخزن پیگردی می‌شود. در تدوین تابع هدف خروج رسوبرات از مخزن از روش برنامه‌ریزی عملیات فلاشینگ استفاده شده است و مقدار خروجی سلانه رسوبرات از مخزن، از این روش برآورد گردیده است. با وزن دادن به دو تابع هدف تأمین نیاز و خروج رسوبرات، عملکرد مدل بهینه‌سازی در اهمیت دادن به دو معیار در سناریوهای مختلف مورد بررسی قرار گرفته است. برای حل مدل بهینه‌سازی غیرخطی به دست آمده، از الگوریتم رقابت استعماری (Imperialist Competitive Algorithm) استفاده شده است. با درنظر گرفتن مطالعه موردی سد سفیدرود، در سناریوهای مختلف عملکرد مدل بهینه‌سازی بررسی شده است. بر این اساس و با مقایسه نتایج مدل بهینه‌سازی با نتایج واقعی بهره‌برداری از مخزن سد سفیدرود در یک دوره پنج ساله، راهکارهای اجرایی مناسب برای عملیات آینده فلاشینگ در مخزن سد مذکور برای دست‌یابی به راندمان رسوبروزدایی بالاتر و تأمین بهتر نیازهای پایین‌دست ارائه شده است.

واژه‌های کلیدی

رسوبروزدایی از مخزن سد، فلاشینگ، مدل بهینه‌سازی بهره‌برداری از مخزن، الگوریتم رقابت استعماری، سد سفیدرود.

^۱. دانشجوی دکتری دانشکده عمران و محیط زیست دانشگاه صنعتی امیرکبیر.

². دانشیار دانشکده عمران و محیط زیست دانشگاه صنعتی امیرکبیر.
Jmosavi@aut.ac.ir*

³. دانشیار دانشکده عمران پردیس فنی دانشگاه تهران.

زمان‌های مناسب با درنظرگرفتن جریان‌های ورودی و نیازهای پایین‌دست، به عملیات فلاشینگ معروف است. راندمان عملیات فلاشینگ در رسوب‌زدایی مخزن به عوامل مختلفی وابسته است. برخی از این عوامل شامل شبیه مخزن، ظرفیت و موقعیت تخلیه کننده‌ها، میزان جریان‌های ورودی و خروجی و طول زمان عملیات، دامنه تغییرات تراز آب مخزن و روند این تغییرات در طول عملیات، درجه تحکیم رسوبات نهشته شده در مخزن و مشخصات رسوبات ورودی می‌باشد.

معیارهای پیشنهادی برای فلاشینگ موفق سدها تا پیش از سال ۱۹۹۶ بیشتر یا کیفی بوده است و یا برای بعضی از سدها با وجود اینکه عملیات فلاشینگ در آنها موفقیت آمیز بوده است، نتایج قابل قبولی به دست نمی‌داد. (پیت و تامسون^۳، آناندال^۴، محمود^۵، ۱۹۸۷، اسلاف^۶ ۱۹۹۱ در سال ۱۹۹۶ مؤسسه تحقیقاتی والینگفورد (اتکینسون^۷ ۱۹۹۶) در یک گزارش جامع به ارائه معیارهایی برای ارزیابی موفقیت عملیات فلاشینگ اشاره نمود. در این گزارش، شش معیار توسط اتکینسون معرفی شد که عبارتند از:

۱. نسبت تعادل رسوب (SBR^۸);

۲. نسبت ظرفیت دراز مدت مخزن (LTCR^۹);

۳. نسبت مقدار کاهش تراز آب حین فلاشینگ (DDR^{۱۰});

مقدمه

ورود رسوبات به دریاچه سدها در طول سالیان متمادی و رسوب‌گذاری در داخل مخازن آنها پدیده‌ای اجتناب‌ناپذیر است. برنامه‌ریزی بهره‌برداری از سد و تخصیص آب برای موارد گوناگون؛ نظیر: کشاورزی، صنعت و شرب با توجه به کاهش حجم ذخیره مخزن سدها دچار مشکل می‌شود. تقریباً ۱٪ از حجم ذخیره مخازن جهان سالانه به علت رسوب‌گذاری کاهش می‌یابد. بنابراین رسوب‌زدایی سدها مسئله مهمی در جهت نگهداری آنهاست. در این راستا، راهکارهای متفاوتی برای رسوب‌زدایی و همچنین کاهش سرعت رسوب‌گذاری و به دنبال آن، پر شدن مخازن از آب وجود دارد که استفاده از آنها هزینه‌های بسیار سنگینی در بر دارد. از این رو، تخلیه مخزن به وسیله فلاشینگ (عملیات شاس) را می‌توان از جمله روش‌های ساده و ارزان رسوب‌زدایی مخازن سدها به شمار آورد. شاس یا فلاشینگ به عملیات تخلیه رسوبات با استفاده از فشار آب روی دریچه‌های عمقی و باز نمودن آنها گفته می‌شود. این عمل بر رسوبات قسمت‌های دورتر مخزن نیز تأثیرگذار است. برای انجام عملیات فلاشینگ محدودیت‌هایی وجود دارد که باعث عدم استفاده گسترده آن می‌شود. محدودیت‌هایی مانند حجم زیاد آب مورد نیاز، عدم وجود دریچه‌های مناسب در ساختار برخی از سدها و لزوم پایین آوردن آب مخزن در دوره‌های مهم که با تأمین نیاز پایین‌دست در تضاد می‌باشد.

رسوب‌زدایی از مخازن سدها به روش‌های گوناگونی صورت می‌گیرد. در برخی موارد با وجود تبعات منفی زیست محیطی، عملیات فلاشینگ به عنوان تنها گزینه مؤثر شناسایی شده است. به منظور تخلیه رسوبات تهشیش شده در مخزن سد، تخلیه ناقص^۱ و یا تخلیه کامل^۲ مخزن در

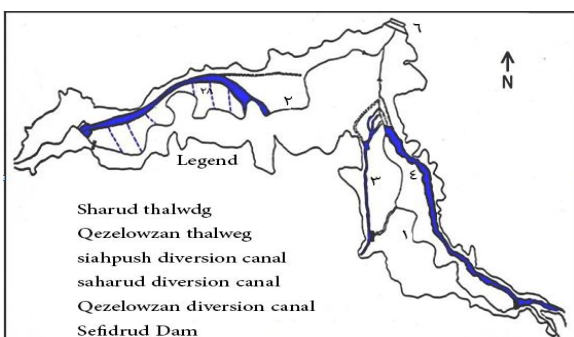
-
- 2. Complete Drawdown
 - 3. Pitt and Thompson 1984
 - 4. Annandale 1987
 - 5. Mahmood 1987
 - 6. Slooff 1991
 - 7. Atkinson 1996
 - 8. Sediment Balance Ratio
 - 9. Long Term Capacity Ratio
 - 10. Draw Down Ratio

-
- 1. Partial Drawdown

هدف تأمین نیاز پایین دست درنظر گرفته شده است. به منظور تدوین تابع هدف خروج رسوبات از مخزن، از روش برنامه‌ریزی عملیات فلاشینگ استفاده شده است. برای حل مدل بهینه‌سازی از مدل الگوریتم رقابت استعماری (ICA^{۱۰}) استفاده گردیده است. هم‌چنین ساختار و فرمول‌بندی مدل بهینه‌سازی شامل توابع هدف و محدودیت‌ها در بخش‌های بعد ارائه شده است.

مطالعه موردی

سد سفیدرود در پایین دست نقطه تلاقی دو رودخانه قزل‌اوزن و شاهرود در نزدیکی شهر منجیل، حدود ۲۵۰ کیلومتری شمال غربی تهران واقع شده است. (شکل ۱) به منظور آبیاری دشت گیلان و تولید برق، بهره‌برداری از این سد در اردیبهشت ۱۳۴۱ آغاز شده است. میانگین درازمدت سالیانه جریان ورودی به مخزن، معادل ۴۹۰۰ میلیون مترمکعب می‌باشد. دو سرریز تخلیه نیلوفری به ظرفیت تخلیه ۳۰۰۰ مترمکعب در ثانیه، دو سرریز نیمه‌عمقی کمکی با ظرفیت کل ۲۰۰۰ مترمکعب در ثانیه، پنج دهنه آبگیر نیروگاه با ظرفیت تخلیه ۱۶۰ مترمکعب در ثانیه و پنج مجرای خروجی کف (گالری تحتانی) با ظرفیت ۹۸۰ مترمکعب در ثانیه در سد وجود دارد.



شکل (۱): موقعیت سد سفیدرود و رودخانه‌های منتهی به آن در شکل (۲) نمودار تغییرات حجم مخزن در تراز نرمال در طول دوره بهره‌برداری ارائه شده است. همان‌گونه که در این

۴. نسبت عرض کanal فلاشینگ (FWR^۱);

۵. نسبت تعادل رسوب برای افت کامل تراز آب (SBR^۴);

۶. نسبت عرض بالایی (TWR^۲).

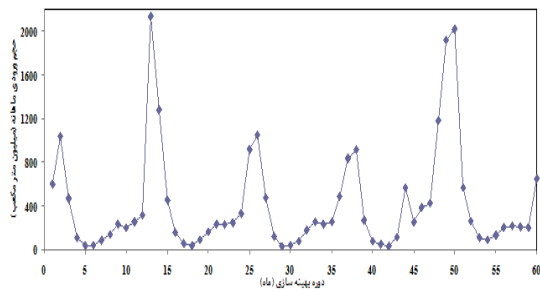
کاواشیما و همکاران^۳ (۲۰۰۳) یک مدل کاربردی را به نام RESCON^۴ در رابطه با نگهداری مخازن سدها ارائه دادند. آنها در این مدل از شش معیار مؤسسه والینگفورد در قسمت فلاشینگ سد استفاده کردند. مدل آنها درنظر گرفتن مسائل اقتصادی به ارائه راهکاری برای احیای حجم مفید مخازن می‌پردازد. در تحقیقات قبلی، ترکیب توابع هدف مختلف برای بهینه‌سازی بهره‌برداری از مخازن، مورد توجه قرار گرفته است. تحقیقات انجام شده توسط استدینجر و همکاران،^۵ (۱۹۸۴) رایپور و موهان،^۶ (۱۹۹۲) فونتane و بالتر،^۷ (۲۰۰۶) چن و همکاران^۸ (۲۰۰۶) و شی یوای و همکاران^۹ (۲۰۰۴) از نمونه مواردی است که در آنها توابع هدف تأمین آب، تولید برق و مهار سیلاب در مدل بهینه‌سازی بهره‌برداری از مخازن درنظر گرفته شده است.

مرور تحقیقات گذشته در زمینه رسوب‌زدایی مخازن سدها، بیانگر این است که با درنظر گرفتن سایر اهداف بهره‌برداری در انجام عملیات رسوب‌زدایی، بهینه‌سازی مقادیر جریان‌های خروجی از مخزن، کمتر مورد توجه قرار گرفته است. در سدهایی با حجم زیاد رسوبات ورودی، علاوه بر برآورده شدن اهداف بهره‌برداری از مخازن، نظری تأمین نیاز آبی پایین دست، توجه به مسئله تخلیه رسوبات و احیای حجم مفید مخزن نیز ضروری به نظر می‌رسد.

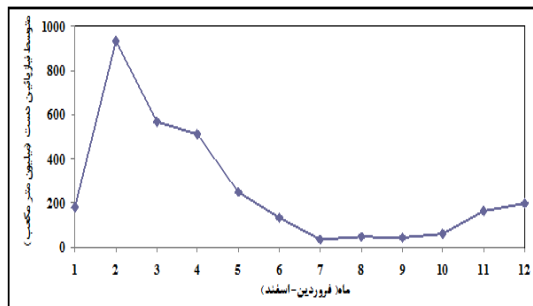
در این مقاله در تدوین مدل بهینه‌سازی بهره‌برداری از مخزن تابع هدف خروج رسوبات از مخزن سد در کنار تابع

-
1. Flushing Width Ratio
 2. Top Width Ratio
 3. Kawashima et al. 2003
 4. Reservoir Conservation
 5. Stedinger et al. 1984
 6. Mohan and Raipure 1992
 7. Fontane and Baltar 2006
 8. Chen et al. 2006
 9. Shi-Yui et al. 2004

۷۹-۸۰ تا ۸۵-۸۶) استفاده شده است. مطابق شکل (۴) میانگین نیاز پایین‌دست برای سال‌های آبی (۸۵-۸۶) و (۸۴-۸۵) در مدل بهینه‌سازی مورد استفاده قرار گرفته است.



شکل (۳): سری زمانی دبی ماهانه ورودی به سد سفیدرود (شرکت سهامی آب منطقه‌ای گیلان)



شکل (۴): میانگین نیاز پایین‌دست برای سال‌های آبی (۸۴-۸۵) و (۸۵-۸۶) (شرکت سهامی آب منطقه‌ای گیلان)

مواد و روش‌ها

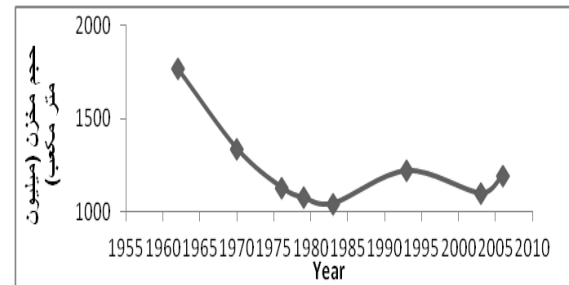
الف. الگوریتم رقابت استعماری

منظور از بهینه‌سازی در اینجا، تعیین مقادیر بهینه متغیرهای تصمیم برای حداقل یا حداقل کردن تابع هدف است. در سال‌های اخیر، الگوریتم‌های فراکاوشی با پیشرفتی چشمگیر در مسایل مشکل و پیچیده بهینه‌سازی مورد استفاده قرار گرفته‌اند که از آن جمله می‌توان به الگوریتم نور شبهیه‌سازی شده^۱ (SA)، الگوریتم ژنتیک^۲ (GA)،

-
1. Simulated Annealing
 2. Genetic Algorithm

شکل دیده می‌شود، حجم اولیه مخزن ۱۷۶۰ میلیون مترمکعب است که بعد از ۱۸ سال بهره‌برداری از آن، این حجم به ۱۰۴۰ میلیون مترمکعب کاهش یافته است. با انجام عملیات رسوب‌زدایی، حجم مخزن افزایش و تا حجم ۱۲۴۴ میلیون مترمکعب رسانده شده است. تغییر حجم مخزن از سال ۱۹۹۰ (۶۹) بسیار اندک بوده است. این تغییرات حاکی از این است که در دوره‌های اولیه فلاشینگ، این عملیات تأثیر بسزایی در احیای مخزن داشته است، اما در سال‌های بعد تقریباً رسوبات سالیانه ورودی، خارج شده است.

سد سفیدرود یک حلقه مهم در زنجیره اقتصادی استان گیلان است که به طور شایانی با مسئله رسوب‌گذاری گستردگی، مواجه است. متوسط سالیانه رسوبات ورودی به مخزن سد ۴۶ میلیون تن است که مقدار حدود ۳۸ میلیون تن از شاخه قزل اوزن و $\frac{7}{9}$ میلیون تن از شاخه شاهروд وارد مخزن می‌شود. توزیع ماهانه آب و رسوبات وارد شده به مخزن نشان می‌دهد که متجاوز از ۵۰ درصد جریان‌های ورودی تنها در ماههای فروردین و اردیبهشت وارد مخزن می‌گردد و متجاوز از ۶۰ درصد رسوبات وارد شده به مخزن در ماههای فوق بوده است. (گزارش رسوب‌زدایی از سد سفیدرود- آب منطقه‌ای گیلان، ۱۳۶۷ و ۱۳۸۵)



شکل (۲): نمودار تغییرات حجم مخزن سفیدرود در طول دوره بهره‌برداری (شرکت سهامی آب منطقه‌ای گیلان) به‌منظور بهینه‌سازی بهره‌برداری از سد سفیدرود، مطابق شکل (۳) از سری زمانی ورودی ماهانه به مخزن و نیازهای آبی پایین‌دست در یک دوره ۵ ساله (از سال آبی

هر امپراطوری نیز برای افزایش قدرت خود باید مستعمرات خود را گسترش دهد. با گذشت زمان، مستعمرات از لحاظ قدرت تا جایی به امپراطوری‌ها نزدیک خواهند شد که نوعی هم‌گرایی پدید می‌آید. با توجه به پدیدار شدن هم‌گرایی مستعمرات به کشور امپریالیست، حدنهایی رقابت استعماری زمانی است که یک امپراطوری واحد وجود داشته باشد. در ادامه، بخش‌های مختلف الگوریتم مورد بررسی قرار می‌گیرد.

شكل‌دهی امپراطوری اولیه

در بهینه‌سازی، هدف یافتن یک جواب بهینه بر حسب متغیرهای مسئله است. یک آرایه از متغیرهای مسئله را که باید بهینه شوند، ایجاد می‌کنیم. در الگوریتم ژنتیک، این آرایه کروموزوم^۶ نامیده می‌شود. در اینجا نیز آرایه مورد نظر، یک کشور نامیده می‌شود. در یک مسئله بهینه‌سازی N_{var} بعدی، یک کشور یک آرایه $1 \times N_{var}$ است. این آرایه به صورت زیر تعریف می‌شود:

$$\text{Country} = [P_1, P_2, P_3, \dots, P_{N_{var}}] \quad (1)$$

مقادیر متغیرها در یک کشور، به صورت اعداد اعشاری نمایش داده می‌شود.

هزینه یک کشور با ارزیابی تابع f در متغیرهای

$$[P_1, P_2, P_3, \dots, P_{N_{var}}] \text{ یافته می‌شود. بنابراین:}$$

$$\text{Cost}_i = f(\text{country}_i) = f(P_1, P_2, P_3, \dots, P_{N_{var}}) \quad (2)$$

برای شروع الگوریتم، تعداد N_{country} کشور اولیه را ایجاد می‌کنیم. N_{imp} آنها، از بهترین اعضای این جمعیت (کشورهای دارای کمترین مقدار تابع هزینه) را به عنوان امپریالیست انتخاب کنیم. با قیمانده N_{col} ، از کشورها، مستعمراتی را تشکیل می‌دهند که هر کدام به یک امپراطوری تعلق دارد. برای تقسیم مستعمرات اولیه بین

6. chromosome

جستجوی ممنوعه^۱ (TS) و بهینه‌سازی جامعه مورچه‌ها^۲ (ACO) اشاره کرد.

الگوریتم رقابت استعماری که بر پایه رشد و تکامل امپراطوری‌ها بنا شده است، اولین بار توسط آتش‌پر^۳ (۲۰۰۸) مطرح شد. این الگوریتم همانند دیگر الگوریتم‌های تکاملی نیز با تعدادی جمعیت اولیه تصادفی شروع می‌گردد که هر کدام از آنها یک «کشور» نامیده می‌شود. تعدادی از بهترین عناصر جمعیت (معادل نخبه‌ها در الگوریتم ژنتیک) به عنوان امپریالیست^۴ انتخاب می‌شوند. با قیمانده جمعیت نیز به عنوان مستعمره^۵ در نظر گرفته می‌شوند. استعمار گران به میزان قدرتشان، این مستعمرات را با یک روند ویژه (در ادامه خواهد آمد) به سمت خود می‌کشند. قدرت تام هر امپراطوری، به هر دو بخش تشکیل‌دهنده آن؛ یعنی کشور امپریالیست (به عنوان هسته مرکزی) و مستعمرات آن بستگی دارد. در حالت ریاضی، این وابستگی با تعریف قدرت امپراطوری به صورت مجموع قدرت کشور امپریالیست، به اضافه درصدی از میانگین قدرت مستعمرات آن مدل شده است. با شکل‌گیری امپراطوری‌های اولیه، رقابت امپریالیستی میان آنها شروع می‌شود. هر امپراطوری که در رقابت استعماری، عملکرد موفقی نداشته باشد و نتواند بر قدرت خود افزوده یا از کاهش نفوذ خود جلوگیری کند، از صحنه رقابت استعماری حذف خواهد شد. بنابراین، بقای یک امپراطوری به میزان قدرتی که در جذب مستعمرات امپراطوری‌های رقیب و به سیطره در آوردن آنها دارد، وابسته است. درنتیجه، در جریان رقابت‌های امپریالیستی، به تدریج بر قدرت امپراطوری‌های بزرگتر افزوده شده و امپراطوری‌های ضعیفتر، حذف خواهد شد.

-
1. Tabu Search
 2. Ants Colony Organization
 3. Atashpaz 2008
 4. Imperialist
 5. Colony

جابه‌جایی موقعیت مستعمره و امپریالیست

کشورهای استعمارگر برای افزایش نفوذ خود، ایجاد عمران در مستعمره‌ها را شروع می‌کنند. این بخش از فرایند استعمار در الگوریتم بهینه‌سازی به صورت حرکت مستعمرات به سمت کشور امپریالیست مدل شده است. (در قسمت دوم شکل ۴ این فرایند آمده است). کشور مستعمره (Colony) به اندازه x واحد در جهت خط واصل مستعمره به استعمارگر (Imperialist) حرکت کرده و به موقعیت جدید (New Position of Colony) کشیده می‌شود. در این شکل، فاصله میان استعمارگر و مستعمره با d نشان داده شده است. x نیز عددی تصادفی با توزیع یکنواخت (یا هر توزیع مناسب دیگر) است؛ یعنی برای x داریم:

$$x \sim U(0, \beta \times d) \quad (6)$$

که در آن β عددی بزرگتر از یک و نزدیک به ۲ می‌باشد. یک انتخاب مناسب می‌تواند $\beta = 2$ باشد. وجود ضریب $1 < \beta < 2$ باعث می‌شود تا کشور مستعمره در حین حرکت به سمت کشور استعمارگر، از جهت‌های مختلف به آن نزدیک شود.

در حرکت مستعمرات به سمت استعمارگر، نیز مقدار کمی زاویه تصادفی به جهت حرکت مستعمره اضافه می‌کنیم. به این منظور، این بار به جای حرکت به اندازه x به سمت کشور استعمارگر و در جهت بردار واصل مستعمره به استعمارگر به همان میزان ولی با انحراف θ در مسیر به حرکت خود ادامه می‌دهیم. را به صورت تصادفی و با توزیع یکنواخت در نظر می‌گیریم. هر توزیع دلخواه و مناسب دیگر نیز می‌تواند استفاده شود؛ پس:

$$\theta \sim U(-\gamma, \gamma) \quad (7)$$

در این رابطه، γ پارامتری دلخواه است که افزایش آن باعث افزایش جستجوی اطراف امپریالیست شده و کاهش آن نیز باعث می‌شود تا مستعمرات تا حد ممکن نزدیک به بردار واصل مستعمره به استعمارگر حرکت کنند. با درنظر

امپریالیست‌ها، به هر امپریالیست تعدادی از مستعمرات متناسب با قدرت آن را می‌دهیم. برای انجام این کار با داشتن هزینه همه امپریالیست‌ها، هزینه نرمالیزه آنها را به صورت زیر در نظر می‌گیریم:

$$C_n = c_n - \max_i\{c_i\} \quad (3)$$

$$C_n: \text{هزینه امپریالیست } n$$

$$\max_i\{c_i\}: \text{بیشترین هزینه میان امپریالیست‌ها}$$

$$c_n: \text{هزینه نرمالیزه شده این امپریالیست.}$$

هر امپریالیستی که دارای هزینه بیشتری باشد (امپریالیست ضعیفتر) دارای هزینه نرمالیزه کمتری خواهد بود. با داشتن هزینه نرمالیزه، قدرت نسبی نرمالیزه هر امپریالیست، به صورت زیر محاسبه شده و بر مبنای آن، کشورهای مستعمره بین امپریالیست‌ها تقسیم می‌شوند:

$$P_n = \left| \frac{c_n}{\sum_{i=1}^{N_{imp}} c_i} \right| \quad (4)$$

از نگاه دیگر، قدرت نرمالیزه شده یک امپریالیست، نسبت مستعمراتی است که توسط آن امپریالیست اداره می‌شود. بنابراین تعداد اولیه مستعمرات یک امپریالیست برابر خواهد بود با:

$$N.C_n = \text{round}\{p_n.N_{col}\} \quad (5)$$

$$N.C_n: \text{تعداد اولیه مستعمرات یک امپراطوری.}$$

$$N_{col}: \text{تعداد کل کشورهای مستعمره موجود در}$$

$$\text{جمعیت کشورهای اولیه.}$$

تابعی است که نزدیک‌ترین عدد صحیح به یک عدد اعشاری را می‌دهد.

با درنظر گرفتن $N.C$ برای هر امپراطوری به این تعداد، از کشورهای مستعمره اولیه به صورت تصادفی انتخاب کرده و به امپریالیست n ام می‌دهیم. با داشتن حالت اولیه تمام امپراطوری‌ها، الگوریتم رقابت استعماری شروع می‌شود. روند تکامل در یک حلقه قرار دارد که تا برآورده شدن یک شرط توقف، ادامه می‌یابد.

به‌این ترتیب در تکرار الگوریتم، یک یا چند مستعمره ضعیف‌تر از ضعیف‌ترین امپراطوری انتخاب می‌شود و بین تمامی امپراطوری‌ها برای تصاحب آنها رقابتی ایجاد می‌گردد. مستعمرات مذکور، لزوماً توسط قوی‌ترین امپراطوری تصاحب نخواهد شد؛ بلکه امپراطوری‌های قوی‌تر احتمال تصاحب بیشتری دارند. برای مدل‌سازی رقابت میان امپراطوری‌ها برای تصاحب این مستعمرات ابتدا احتمال تصاحب هر امپراطوری (متناسب با قدرت آن امپراطوری) با درنظر گرفتن هزینه کل امپراطوری به صورت زیر محاسبه می‌شود. در ابتدا با توجه به هزینه کل امپراطوری، هزینه کل نرمالیزه شده آن مطابق زیر تعیین می‌گردد:

$$N.T.C_n = T.C_n - \max_i\{T.C_i\} \quad (9)$$

$T.C_n$: هزینه کل امپراطوری n ؛

$N.T.C_n$: هزینه کل نرمالیزه شده امپراطوری. امپراطوری با $T.C_n$ کمتر $N.T.C_n$ بیشتری خواهد داشت. در حقیقت $T.C_n$ معادل هزینه کل یک امپراطوری و $N.T.C_n$ معادل قدرت کل آن است. امپراطوری با کمترین هزینه دارای بیشترین قدرت است. با داشتن هزینه کل نرمالیزه شده احتمال (قدرت) تصاحب مستعمره، رقابت توسط هر امپراطوری به صورت زیر محاسبه می‌شود:

$$P_{p_n} = \left| \frac{N.T.C_n}{\sum_{i=1}^{N_{imp}} N.T.C_i} \right| \quad (10)$$

با معلوم بودن احتمال تصاحب هر امپراطوری، برای اینکه مستعمرات مذکور به صورت تصادفی ولی با احتمال واپسی به احتمال تصاحب هر امپراطوری، بین امپراطوری‌ها تقسیم شود، بردار P از روی مقادیر احتمال فوق به صورت زیر تشکیل می‌گردد:

$$P = [P_{p_1}, P_{p_2}, P_{p_3}, \dots, P_{p_{N_{imp}}}] \quad (11)$$

سپس بردار تصادفی R ، هم بعد با بردار P ایجاد می‌شود. آرایه‌های این بردار، اعدادی تصادفی با توزیع

گرفتن واحد را دیان برای π عددی نزدیک به $4/\pi$ در بیشتر کاربردها انتخابی مناسب بوده است.

قدرت کل یک امپراطوری

قدرت یک امپراطوری برابر است با قدرت کشور استعمارگر به اضافه درصدی از قدرت کل مستعمرات آن.

به‌این ترتیب برای هزینه کل یک امپراطوری داریم:

(8)

$$T.C_n = \text{Cost(imperialist}_n) + \epsilon \text{ mean}\{\text{Cost}(colonies of empire}_n\})$$

که در آن:

$T.C_n$: هزینه کل امپراطوری n ؛

ϵ : عددی مثبت درنظر گرفته شده بین صفر و یک و نزدیک به صفر.

کوچک درنظر گرفتن ϵ باعث می‌شود که هزینه کل یک امپراطوری تقریباً با هزینه حکومت مرکزی آن کشور امپریالیست برابر شود و افزایش ϵ نیز باعث افزایش تاثیر میزان هزینه مستعمرات یک امپراطوری در تعیین هزینه کل آن می‌شود. در حالت نوعی $\epsilon = 0.1$ در بیشتر پیاده‌سازی، به جواب‌های مطلوبی منجر شده است.

رقابت استعماری

هر امپراطوری اگر علاوه براینکه نتواند قدرت خود بیفزاید، قدرت رقابت خود را نیز از دست دهد، در جریان رقابت‌های امپریالیستی حذف خواهد شد. فرایند حذف به مرور و تدریجی رخ می‌دهد؛ به این صورت که با گذشت زمان، امپراطوری‌های ضعیف مستعمرات خود را از دست می‌دهند و امپراطوری‌های قوی‌تر، این مستعمرات را تصاحب کرده و بر قدرت خویش می‌افزایند. برای مدل‌سازی این واقعیت فرض می‌شود که امپراطوری در حال حذف، ضعیف‌ترین امپراطوری موجود است.

یکنواخت در بازه $[10^0]$ می‌باشد.

$$R = [r_1, r_2, r_3, \dots, r_{N_{imp}}] \quad (12)$$

است. در این شرایط تفاوتی میان مستعمرات وجود ندارد. این عدم تفاوت میان آنها و کشور امپریالیست را می‌توان به خوبی دید. در چنین موقعیتی رقابت امپریالیستی به پایان رسیده و الگوریتم متوقف می‌شود.

در جدول (۱) شبکه کد مربوط به الگوریتم رقابت استعماری آورده شده است. شکل (۵) شماتیکی الگوریتم رقابت استعماری را نشان می‌دهد. (Hosseini Nasab. E 2010)

سپس بردار D به صورت زیر تشکیل می‌شود:

$$D = P - R = [D_1, D_2, D_3, \dots, D_{N_{imp}}] = \left[P_{p_1} - r_1, P_{p_2} - r_2, P_{p_3} - r_3, \dots, P_{p_{N_{imp}}} - r_{N_{imp}} \right] \quad (13)$$

با داشتن بردار D مستعمرات به امپراطوری‌ای داده خواهد شد که اندیس مربوط به آن در بردار D بزرگتر از بقیه باشد. امپراطوری‌ای که بیشترین احتمال تصاحب را داشته باشد با احتمال بیشتری اندیس مربوط به آن در بردار D بیشترین مقدار را خواهد داشت. با تصاحب مستعمره توسط یکی از امپراطوری‌ها، عملیات این مرحله از الگوریتم به پایان می‌رسد.

جدول (۱): شبکه کد مربوط به الگوریتم رقابت استعماری

۱	چند نقطه تصادفی روی قطب انتخاب کرده و امپراطوری‌های اولیه را تشکیل بد!
۲	مستعمرات را به سمت کشور امپریالیست حرکت بده (سیاست همسان‌سازی)!
۳	اگر مستعمره‌ای در یک امپراطوری، وجود داشته باشد که هزینه‌ای کمتر از امپریالیست داشته باشد، جای مستعمره و امپریالیست را با هم عوض کن!
۴	هزینه کل یک امپراطوری را حساب کن (با درنظرگرفتن هزینه امپریالیست و مستعمراتشان)!
۵	یک مستعمره از ضعیفترین امپراطوری انتخاب کرده و آن را به امپراطوری‌ای که بیشترین احتمال تصاحب را دارد، بده!
۶	امپراطوری‌های ضعیف را حذف کن!
۷	اگر تنها یک امپراطوری باقی مانده باشد، توقف کن و گرنه به ۲ برو!

سقوط امپراطوری ضعیف

همان‌گونه که بیان شد در جریان رقابت‌های امپریالیستی، خواهانخواه امپراطوری‌های ضعیف به تدریج سقوط کرده و امپراطوری‌های قوی‌تر مستعمرات آنها را تصاحب می‌کنند. برای سقوط یک امپراطوری شروط متفاوتی را می‌توان در نظر گرفت؛ در الگوریتم پیشنهادی، یک امپراطوری زمانی حذف شده تلقی می‌شود که مستعمرات خود را از دست داده باشد.

هم‌گرایی

الگوریتم مورد نظر تا برآورده شدن یک شرط هم‌گرایی و یا تا اتمام تعداد کل تکرارها ادامه می‌یابد. پس از مدتی همه امپراطوری‌ها سقوط کرده و تنها یک امپراطوری باقی خواهد ماند و کشورها تحت کنترل این امپراطوری واحد قرار خواهند گرفت. در این دنیای ایدآل همه مستعمرات توسط یک امپراطوری واحد اداره می‌شوند و موقعیت‌ها و هزینه‌های آنها برابر با موقعیت و هزینه کشور امپریالیست

(۱۴)

$$S_{m+1,y} = S_{m,y} + I_{m,y} - R_{m,y}; \quad m = 1,2,\dots,11 \quad y = 1,2,\dots,Y$$

(۱۵)

$$S_{1,y+1} = S_{12,y} + I_{12,y} - R_{12,y}; \quad y = 1,2,\dots,Y$$

(۱۶)

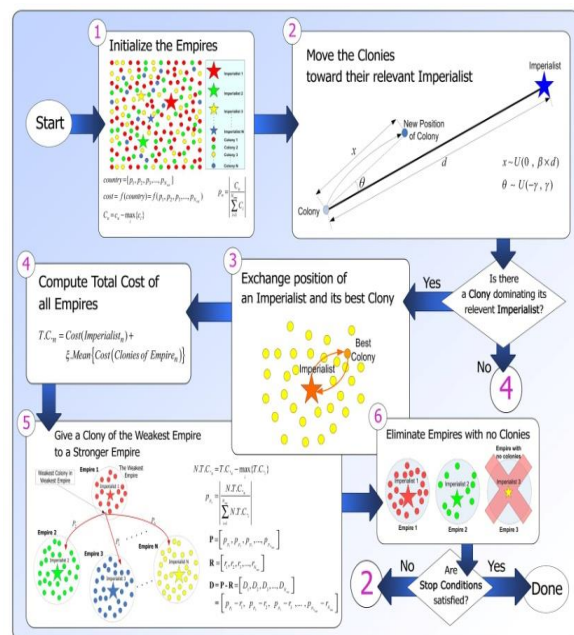
$$S_{\min} \leq S_{m,y} \leq S_{\max}; \quad m = 1,2,\dots,12 \quad y = 1,2,\dots,Y$$

: خروجی از مخزن در ماه m در سال y : $R_{m,y}$

: حجم مخزن در ابتدای ماه m در سال y : $S_{m,y}$

: ورودی به مخزن در ماه m در سال y : $I_{m,y}$

: حداقل و حداکثر حجم ذخیره مخزن: S_{\max} و S_{\min}



شکل (۵): شماتیک الگوریتم رقابت استعماری

میزان جریان خروجی در هر دوره باید بین مقادیر حداقل و حداکثر آن باشد. شرایط مرزی تعریف شده برای جریان‌های خروجی با استفاده از منحنی حجم - خروجی مخزن^۱ میان‌یابی می‌شود. بر اساس حجم ذخیره در هر دوره و میان‌یابی خروجی مربوط به حجم موردنظر، مقدار خروجی مجاز مخزن به دست می‌آید.

(۱۷)

$$0 \leq R_{m,y} \leq R_{\max}; \quad m = 1,2,\dots,11 \quad y = 1,2,\dots,Y$$

در این رابطه R_{\max} حداکثر جریان خروجی مجاز از مخزن است که با توجه به ظرفیت دریچه‌ها و سرریزها از منحنی‌های خروجی بر حسب حجم ذخیره و یا بلندای آب در مخزن نتیجه‌گیری می‌شود.

تابع هدف مدل بهینه‌سازی در این تحقیق متشکل از دو بخش است. بخش اول مربوط به تأمین نیاز پایین دست و بخش دوم برای خروج رسوبات مخزن درنظر گرفته شده است. طبق رابطه زیر، هدف هر دو بخش از تابع، حداقل‌سازی خسارت ناشی از انحراف جریان خروجی از مقادیر مطلوب در طول دوره بهره‌برداری است.

ب. مدل بهینه‌سازی بهره‌برداری از مخزن با اهداف رسوب‌زدایی و تأمین نیاز آبی

در الگوریتم ICA متغیرهای تصمیم عبارت از میزان جریان‌های خروجی ماهانه از مخزن است. بنابراین تعداد کشورها از حاصل ضرب تعداد سال‌های بهره‌برداری y در عدد ۱۲ (تعداد ماههای سال) به دست می‌آید. با توجه به ۵ سال بهره‌برداری، تعداد متغیرهای تصمیم برابر ۶۰ متغیر است. قیود مدل بهینه‌سازی، شامل معادلات پیوستگی جریان در مخزن، حداقل و حداقل حجم مخزن و مقادیر مجاز خروجی از مخزن می‌باشد. در تمام مراحل بهینه‌سازی بهره‌برداری از مخزن، موازنۀ جرمی بین مقادیر ورودی و خروجی و حجم ذخیره مخزن باید بقرار باشد و حجم ذخیره نیز باید بین مقادیر حداقل و حداکثر آن باشد:

این تابع هزینه محدب و نمایی است که در رابطه (۲۰) تعریف شده است. (۱۸)

$$\text{Loss}_y^2 = \begin{cases} 1580000 \times \left(e^{\left(\frac{V_y}{V_{\max}} \right)} - e^{-1} \right) & \frac{V_y}{V_{\max}} \leq 1 \\ 0 & \frac{V_y}{V_{\max}} > 1 \end{cases} \quad (۲۰)$$

که در این رابطه V_{\max} حداکثر بار رسوب خروجی سالانه از مخزن طی عملیات فلاشینگ است. براساس آمار تاریخی، این مقدار رسوب خروجی، طی این عملیات و یا قضاوت کارشناسی در مورد حداکثر مقدار احتمال داده شده رسوب خروجی از شرایط ایدآل، انجام عملیات فلاشینگ قابل محاسبه است. برای محاسبه V از رابطه پیشنهادی توسط موسسه والینگفورد به صورت زیر استفاده شده است:

$$V_y = \Psi \frac{Q_f^{1.6} S^{1.2}}{W^{0.6}} \times 60 \times 60 \times 24 \times 365 \quad (۲۱)$$

در رابطه بالا، Q_f دبی فلاشینگ است که با توجه به زمان مناسب برای عملیات فلاشینگ برای هر سد قابل محاسبه است.

S شبی طولی مخزن در طول دوره فلاشینگ است، که از رابطه زیر به دست می‌آید:

$$S = \Psi \frac{EL_{max} - EL_{min}}{L} \quad (۲۲)$$

EL_{min} : حداقل ارتفاع بستر؛
 EL_{max} : حدأکثر رقوم جریان؛
 L : طول مخزن.

برای تعیین پارامتر Ψ از جدول (۲) استفاده می‌شود. در رابطه (۲۱) W : عرض جریان در عملیات فلاشینگ است که از رابطه زیر محاسبه می‌شود:

$$W = \min\{W_{res}, W_f\} \quad (۲۳)$$

$$W_{res} = W_{bot} + 2 \times SS_{res}(El_f - El_{min}) \quad (۲۴)$$

$$W_f = 12.8 \times Q_f^{0.5} \quad (۲۵)$$

$$\text{Minimize } Z = W_d \times \left(\sum_{y=1}^Y \sum_{m=1}^{12} \text{Loss}_{m,y}^1(R_{m,y}, D_{m,y}) \right) + W_s \times \left(\sum_{y=1}^Y \text{Loss}_y^2(V_y) \right)$$

در این رابطه:

W_d : خسارت ناشی از عدم تأمین نیاز در ماه m از سال بهینه سازی y ؛

W_s : خسارت ناشی از رسوبات در سال y ؛

W_d : وزن هدف تأمین نیاز؛

W_s : وزن هدف خروج رسوبات؛

V_y : بار رسوب خروجی در طی عملیات فلاشینگ در سال y .

$D_{m,y}$: نیاز پایین دست در ماه m از سال y .

در محاسبه خسارت ناشی از عدم تأمین نیاز ($\text{Loss}_{m,y}^1$) تابع هدف نسبی ارائه شده توسط کاراماژ و واسیلیادیس^۱ (۱۹۹۲) استفاده شده است. در این تابع فرض می‌شود که خسارت ناشی از رهاسازی آب از سیستم، تنها تابعی از خروجی است که به صورت نسبت خروجی به نیاز در هر ماه ۰رنظر گرفته می‌شود. ساختار این تابع هدف دارای سه بخش است که در رابطه (۱۹) آورده شده است:

$$\text{Loss}_{m,y}^1 = \begin{cases} 1.58 \times 10^6 \left(e^{\left(\frac{R_{m,y}}{0.8D_{m,y}} \right)} - e^{-1} \right) & \frac{R_{m,y}}{D_{m,y}} < 0.8 \\ 0 & 0.8 \leq \frac{R_{m,y}}{D_{m,y}} \leq 1.2 \\ 3.88 \times 10^5 \left(e^{\left(\frac{R_{m,y}}{1.2D_{m,y}} \right)} - e^{-1} \right) & \frac{R_{m,y}}{D_{m,y}} > 1.2 \end{cases} \quad (۱۹)$$

در تابع هدف دوم، فرض می‌شود که خسارت ناشی از عدم خروج رسوبات از مخزن (Loss_y^2) تابعی از نسبت خروجی سالانه رسوب از مخزن، به حداکثر رسوب خروجی سالانه واقعی صورت گرفته در طول دوره برداری است.

1. Karamouz and Vasiliadis 1992

نتایج

در مدل بهینه سازی الگوریتم رقابت استعماری، انتخاب صحیح پارامترها تأثیر بسزایی در عملکرد و اجرای بهتر مدل دارد. جدول (۳) مقادیر پارامترهای انتخاب شده در این تحقیق را بیان می‌کند. در تابع هدف مدل بهینه سازی، برای محاسبه بار رسوبات خروجی با استفاده از اطلاعات جدول (۲) محاسبات مورد نیاز انجام می‌شود. بهعلت ریزدانه بودن رسوبات موجود در مخزن سفیدرود مقدار Ψ برابر ۱۶۰۰ در نظر گرفته شده است.

جدول (۳): پارامترهای ICA

مقدار	آیتم
۲۰۰	تعداد کشورها
۸	تعداد امپراطوری‌ها
۵۰۰	تعداد تکرار
۲	ضریب جذب β
۰/۵	زاویه جذب γ

در خصوص سد سفیدرود برای محاسبه دبی فلاشینگ (Q_f) در مدل بهینه‌سازی با توجه به زمان مناسب برای عملیات فلاشینگ، Q_f توسط دبی ماههای مهر، آبان، آذر، دی، بهمن، اسفند و فروردین (عملیات فلاشینگ در این ماهها امکان‌پذیر است) محاسبه شده است.

با توجه به میزان اثربخشی ماههای مختلف در موقوفیت عملیات فلاشینگ، ضرایب مطابق دستورالعمل موسسه والینگفورد در نظر گرفته شده است. این ضرایب در مورد سد سفیدرود برای ماههای مهر و اسفند برابر یک، برای ماههای آبان و بهمن برابر دو و برای سه ماه آذر، دی و فروردین برابر سه در نظر گرفته شد.

با توجه به ضرایب در نظر گرفته شده در مدل بهینه‌سازی، امپراطوری‌هایی که جریان‌های خروجی بیشتری را برای عملیات فلاشینگ در سه ماه آذر، دی و

عرض کف مخزن سد؛ W_{bot}

شیب جداره مخزن؛ SS_{res}

رقوم جریان در سریز در حین فلاشینگ؛ El_f

عرض مخزن سد است که دقیقاً در بالادست آن

و در تراز آب هنگام عملیات فلاشینگ؛

عرض کanal ایجاد شده در اثر عملیات فلاشینگ؛ W_f

دبی فلاشینگ. Q_f

در شکل (۶) روش حل مسئله آورده شده است.



شکل (۶): الگوریتم حل مسئله

جدول (۲): تعیین مقدار Ψ

مقدار Ψ	شرط موجود
۱۶۰۰	برای رسوبات ریز دانه
۶۵۰	$D_{50} < 0.1 \text{ m}$
۳۰۰	$D_{50} < 0.1 \text{ mm}$
۱۸۰	اگر دبی شاس کم باشد (کمتر از $50 \text{ m}^3/\text{s}$)

علی‌رغم آن مشاهده می‌شود که در ۸۵٪ موقع ۱۰۰٪ نیازها تأمین گردیده است. در سناریوی سوم ($W_s = 0.5$ و $W_d = 0.5$) که در آن هر دو هدف (تخلیه بیشترین مقدار رسوبات و تأمین نیاز پایین دست) توأم با ضرایب یکسان در نظر گرفته شده است، نتایج با دو سناریوی قبل تطابق دارد. در این سناریو نسبت به سناریوی اول که هدف اصلی آن خروج رسوبات بود، در حالی که شرایط تأمین نیازها بهتر است، رسوب کمتری تخلیه شده است. در این سناریو در ۷۵٪ موقع ۱۰۰٪ نیازها تأمین گردیده است.

سناریوی چهارم ($W_s = 0$ و $W_d = 1$) وزن تابع خسارت رسوب برابر یک و وزن تابع خسارت نیاز برابر صفر در نظر گرفته شده است. در این سناریو، هیچ خسارتی برای نیاز لحاظ نشده است؛ یعنی نیاز پایین دست در میزان خروجی سد تأثیرگذار نبوده و تنها عامل مهم و تأثیرگذار، خروج رسوبات بیشتر از مخزن سد است.

البته همان‌طور که اشاره شد با توجه به نیاز شدید پایین دست به آبیاری در شش ماه آغازین هر سال، زمان عملیات فلاشینگ در شش ماه دوم سال؛ یعنی از مهرماه تا فروردین‌ماه سال بعد در نظر گرفته می‌شود. در این سناریو، تنها در ۶۳٪ موقع ۱۰۰٪ نیازها تأمین می‌شود. در مقابل، میزان بار رسوب خروجی نسبت به دیگر سناریوهای افزایش داشته است. در سناریوی ($W_s = 0$ و $W_d = 1$) تنها تأمین نیازها مد نظر بوده است؛ یعنی وزن تابع هدف رسوب، صفر در نظر گرفته شده است. در این سناریو، خروج رسوبات از مخزن سد، عامل تعیین کننده‌ای برای دبی خروجی مخزن نخواهد بود و مانند قبیل عدم تجاوز از حجم حداقل مخزن نیز ملاکی برای خروج آب است. در این سناریو، ۱۰۰٪ نیازها در ۸۸٪ موقع تأمین شده است که نتیجه قابل قبولی برای این سناریو می‌باشد. اما در مورد میزان رسوب قابل خروج می‌توان گفت با جریان‌های خروجی این سناریو، تنها رسوبات سالیانه ورودی به مخزن، قابل تخلیه است ولی

فروردين در نظر بگيرند، احتمال بقای بيشتری در تكرارهای متوالی خواهد داشت. علت اينکه ضرایب ماهها متفاوت در نظر گرفته شده است که به دليل ورودی‌های بيشتر در سه ماه آذر، دي و فروردین استفاده از حجم بالاي ورودی در تخلیه رسوبات، موجب كارآمدی بيشتر عملیات فلاشینگ می‌شود. از آنجاکه از ماه اردیبهشت تا انتهای شهریور در پایین دست به آبی با كیفیت قابل قبول جهت کشاورزی نیاز است؛ لذا در مدل بهینه‌سازی برای انجام عملیات فلاشینگ در این ماهها محدودیت در نظر گرفته شده است.

در تابع هدف مدل بهینه‌سازی (رابطه ۱۹) پنج سناریوی متفاوت با تغيير ضرایب توابع هدف نیاز و رسوب (W_s و W_d) مطابق با جدول (۴)تعريف شد که مدل بهینه‌سازی برای این پنج سناریو اجرا شده و نتایج آن در این جدول ارائه گردیده است. مقدار رسوبات خروجی و درصد موقعي که ۷۰ و ۵۰ درصد از نیازها تأمین شده است، به عنوان معیارهای ارزیابی نتایج، مورد استفاده قرار گرفته است. مقادير اين معیارها برای ۵ سناريوی در نظر گرفته شده در جدول (۴) ارائه شده است. لازم به ذکر است که در اين جدول، مقادير برآورده شده اين معیارها بر اساس آمار تاریخي بهره‌برداری از مخزن، ارائه گردیده است.

در مورد سناریوی اول ($W_s = 0.8$ و $W_d = 0.2$) - که هدف غالب در آن، خروج بيشترین مقدار رسوبات می‌باشد - نتایج حاکی از آن است که میزان قابل توجهی از رسوبات با جريان‌های خروجی‌های اين سناريو قابل تخلیه است. در اين سناريو در ۷۲٪ موقع، ۱۰۰٪ نیازها تأمین می‌شود. در سناریوی دوم ($W_s = 0.8$ و $W_d = 0.2$) هدف غالب، تأمین نیاز پایین دست است که مهم آن آب مورد نیاز بخش کشاورزی است. همان‌طور که انتظار می‌رفت در اين سناريو نسبت به سناریوی اول رسوبات کمتری قابل تخلیه است.

تأمین نیاز براساس سه معیار انتخاب شده در سناریوهای اول و سوم بسیار نزدیک به مقادیر محاسبه شده براساس آمار تاریخی بهره‌برداری است، در حالی که میزان رسوبات خروجی در این دو سناریو به ترتیب $4/8$ و $3/01$ برابر رسوبات تخلیه شده براساس آمار بهره‌برداری تاریخی از سد است. به طور خلاصه، نتایج نشان می‌دهد که با توجه به میزان ورودی سالانه به سد و با درنظرگرفتن سال‌های خشکسالی و پرآبی، با اتخاذ سناریوی مناسب به عنوان سیاست بهره‌برداری، می‌توان توازن مناسبی بین اهداف تأمین نیاز پایین‌دست و احیای حجم مخزن سفیدرود ایجاد کرد. در صورتی که تأمین نیازها در حد وضعیت بهره‌برداری تاریخی از مخزن مدنظر باشد، سناریوی سوم که امکان تخلیه حجم قابل توجهی از رسوبات را ضمن بهبود اطمینان‌پذیری تأمین نیازها در حد محدود فراهم می‌کند، مناسب‌ترین گزینه است.

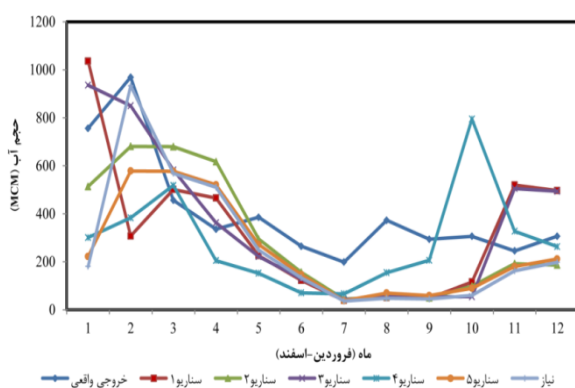
رسوبات نهشته شده در مخزن تخلیه نمی‌شوند؛ به عبارتی میزان احیای حجم مخزن سد بسیار ناچیز است. روند تغییرات جدول نشان می‌دهد که با افزایش وزن تابع خسارت رسوب از درصد موقع تأمین نیازها کاسته می‌شود و در مقابل، مقدار رسوب قبل تخلیه به میزان قابل ملاحظه‌ای افزایش می‌یابد.

مقایسه نتایج پنج سناریوی مدل با شرایط بهره‌برداری واقعی از مخزن، نشان می‌دهد که به جز سناریوی پنجم در سایر سناریوهای میزان رسوبات خروجی براساس بهره‌برداری بهینه، بیشتر از مقدار آن در بهره‌برداری تاریخی از سد بوده است. هم‌چنین، اطمینان‌پذیری تأمین نیازها نیز در اکثر سناریوها در مقایسه با شرایط بهره‌برداری تاریخی بهبود یافته است. بهترین سناریوهایی که امکان این مقایسه را فراهم می‌کند، سناریوهای اول و سوم است.

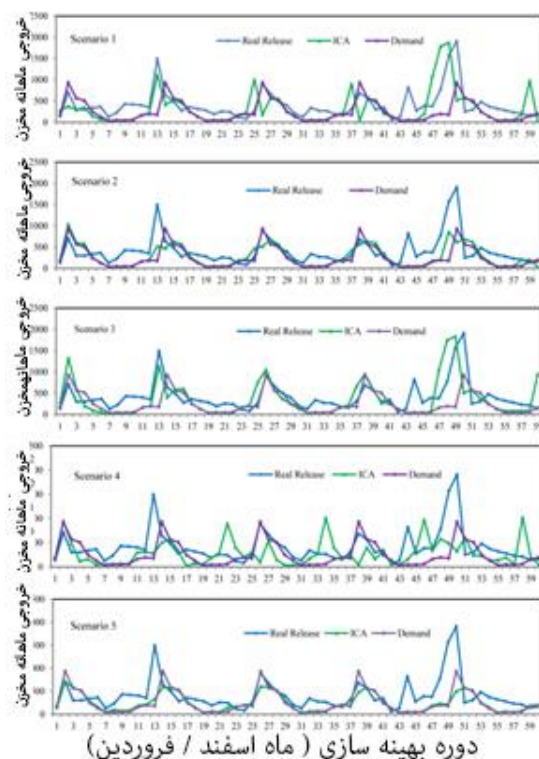
نتایج موجود در جدول (۴) نشان می‌دهد که درصد

جدول (۴): نتایج پنج سناریوی مختلف مدل بهینه‌سازی بهره‌برداری و اطلاعات بهره‌برداری واقعی از مخزن سد سفیدرود

بهره‌برداری واقعی	سناریو ۵	سناریو ۴	سناریو ۳	سناریو ۲	سناریو ۱	شاخص‌های بررسی عملکرد سناریوها در تأمین نیازهای آبی و تخلیه رسوبات
	$W_s = 0$ $W_d = 1$	$W_s = 1$ $W_d = 0$	$W_s = 0.5$ $W_d = 0.5$	$W_s = 0.2$ $W_d = 0.8$	$W_s = 0.8$ $W_d = 0.2$	
۶/۱۱	۵/۱۲	۳۸/۱۵	۱۸/۴	۱۰/۲	۲۹/۳۷	میزان رسوب خروجی در واحد زمان (ton/sec)
۷۰	۸۸	۶۳	۷۵	۸۵	۷۲	اعتماد‌پذیری زمانی در سطح تأمین 100% نیازها
۸۳	۹۲/۷	۷۲	۸۳	۹۳	۸۳	اعتماد‌پذیری زمانی در سطح تأمین 70% نیازها
۸۵	۹۸	۷۸	۹۲	۹۷	۹۲	اعتماد‌پذیری زمانی در سطح تأمین 50% نیازها

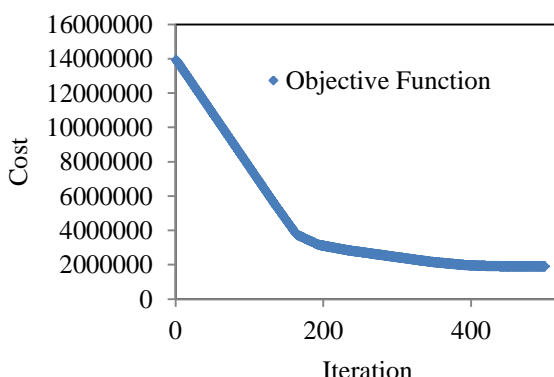


شکل (۶): مقایسه منحنی های فرمان تحت سناریوهای مختلف با مقادیر متوسط نیاز و خروجی های واقعی در شکل (۶) منحنی های فرمان مطلوب در سناریوهای مختلف با مقادیر متوسط نیاز و خروجی های واقعی مقایسه شده است. همان طور که مشاهده می شود در سیاست فعلی بهره برداری (خروجی واقعی) در ماه های مرداد و آذر، مقدار خروجی به مراتب بیشتر از مقدار نیاز بوده است که این مسئله در سناریوهای مورد بررسی این تحقیق دیده نمی شود. روند هم گرایی جوابها و تغییرات تابع هدف در فرایند حل مسئله بهینه سازی در شکل (۶) آورده شده است.



شکل (۷): مقایسه نتایج مدل بهینه سازی در سناریوهای مختلف با شرایط بهره برداری تاریخی از مخزن سد سفیدرود

در شکل (۷) مقادیر سری زمانی جریان خروجی تاریخی از سد در پنج سال، تحت بررسی و نتایج مدل بهینه سازی در سناریوهای مختلف ارائه شده است. مشاهده می شود که عملکرد سد سفیدرود در این دوره پنج ساله با نتایج مدل بهینه سازی اختلاف بسیار زیادی دارد. به طور خاص در شرایط بهره برداری تاریخی از سد از سیلاب های فروردین ماه برای خروج رسوبات استفاده موثر نشده است. کمبود آب به واسطه جریان های خروجی واقعی در اردیبهشت ماه، بیش از کمبود آب در نتایج سناریوهای مختلف در این ماه است. به طور کلی نتایج به دست آمده از این تحقیق، نشانگر کارایی مدل بهینه سازی توسعه داده شده در مدیریت بهره برداری از سد سفیدرود برای ایجاد تعادل میان اهداف تأمین نیاز آبی و خارج کردن رسوبات از مخزن است.



شکل (۸): روند تغییرات تابع هدف در طول بهینه سازی

جمع‌بندی
در این تحقیق، مدل بهینه سازی بهره برداری از مخزن سد سفیدرود با اهداف تأمین نیاز آبی و رسوب‌زدایی در قالب یک مدل غیرخطی چنددهدفه فرمول بندی شد. این مدل با استفاده از الگوریتم بهینه سازی تکاملی رقابت

حل وزنی مورد استفاده در این تحقیق شوند.

مراجع

۱. شرکت سهامی آب منطقه‌ای گیلان (۱۳۶۷) «گزارش عملیات رسوب‌زدایی سد سفیدرود»، امور سدها.
۲. شرکت سهامی آب منطقه‌ای گیلان (۱۳۸۵) «گزارش عملیات رسوب‌زدایی سد سفیدرود»، امور سدها.
۳. شرکت سهامی آب منطقه‌ای گیلان، «گزارشات کمیته رسوب سد سفیدرود»، ایران، ۱۳۵۹-۱۳۸۶.
4. Annandale G. W. (1987) *Reservoir sedimentation. Developments in Water Science, Title 29*. Elsevier Science Publishers, Amsterdam, The Netherlands.
5. Atashpaz-Gargari. E., Hashemzadeh. F., Rajabioun. R. and Lucas. C., (2008). Colonial Competitive Algorithm, a novel approach for PID controller design in MIMO distillation column process. *International Journal of Intelligent Computing and Cybernetics*, Vol. 1 No. 3, 2008, pp. 337-355.
6. Atkinson, E. (1996) The Feasibility of Flushing Sediment from Reservoir. TDR Project R5839, Wallingford Ltd.
7. Baltar, M., and Fontane, G., (2006). A Multiobjective Particle Swarm Optimization Model for Reservoir Operation and Planning. International Conference on Computing and Decision Making in Civil and Building Engineering, Montreal, Canada.
8. Chen, L., McPhee, J., Yeh, W., and Hon, M. (2006) A Diversified Multiobjective GA for Optimizing Reservoir Rule Curves. *Advances in Water Resources*, Vol. 30, No. 5, PP. 1082-1093.
9. Hosseini Nasab. E., Khezri. M., Khodamoradi. M. S. Atashpaz Gargari. E., (2010). *An application of Imperialist Competitive Algorithm to Simulation of Energy Demand Based on Economic Indicators*:

استعماری حل گردید و جریان‌های خروجی از سد برای یک دوره پنج‌ساله با تأکید بر فلاشینگ مخزن، ضمن مقایسه با نیاز پایین‌دست و خروجی‌های واقعی تاریخی تعیین شد. مقایسه نتایج حاصل از مدل بهینه‌سازی و بهره‌برداری تاریخی نشان‌دهنده اختلاف قابل ملاحظه آنها و به عبارتی پتانسیل اصلاح و بهبود شرایط بهره‌برداری تاریخی است. بررسی‌های انجام شده نشان‌دهنده عدم استفاده مفید از سیلاب‌های فروردین‌ماه برای خروج رسوبات بوده است. نتایج مدل بهینه‌سازی گویای این است که امکان افزایش راندمان عملیات فلاشینگ و تأمین نیازهای آبی پایین‌دست سد سفیدرود وجود دارد. مقایسه نتایج سناریوهای مختلف در این تحقیق نیز بیانگر این است که با درنظر گرفتن این مسئله که بحث خروج رسوبات ورودی به مخزن سد سفیدرود قابل چشم پوشی نیست، هرچند که در شرایط محیطی و اقلیمی خاص، نتایج هر کدام از پنج سناریو قابل استفاده است، لذا سناریوهای دوم و سوم، با ضرایب تابع هدف رسوب به ترتیب برابر با ۰/۲ و ۰/۵ می‌توانند در تدوین سیاست‌های بهره‌برداری از این سد بیشتر مورد توجه قرار گیرند.

مقایسه منحنی‌های فرمان مطلوب در سناریوهای مختلف با مقادیر متوسط نیاز و خروجی‌های واقعی، نشان می‌دهد که در سیاست فعلی بهره‌برداری (خروجی واقعی) در ماه‌های مرداد تا آذر مقدار خروجی از سد به مراتب بیشتر از مقدار نیاز پایین‌دست بوده است که این امر در پنج سناریوی مورد بررسی دیده نمی‌شود. لذا بهره‌برداری از سد با درنظر گرفتن این موارد باید اصلاح شود.

به منظور افزایش دقت در حل مسئله، پیشنهاد می‌شود با مطالعه دقیق در زمینه میزان خسارات بر جامانده از عملیات رسوب‌زدایی برآورده دقیق از این خسارات صورت پذیرد و در تابع هدف اعمال شود. به علاوه، روش‌های دیگر حل مسائل بهینه‌سازی چندهدفه می‌تواند جایگزین روش

- challenges in African Hydrology and Water Resources.* Int. Association of Hydrology Scs. Publication No. 144.
15. Shi-Yui, L., Al-Fayyaz, T., and Kim Sai, L. (2004) *Application of Evolutionary Algorithm in Reservoir Operation.* Journal of the Institution of Engineers, Singapore, Vol. 44, No. 1, P.: 39-54.
16. Slooff C. J. (1991), *Reservoir sedimentation: a literature survey.* Communications on Hydraulic and Geotechnical Engineering, Report No. 91-2. Faculty of Civil Engineering, Delft University of Technology, The Netherlands.
17. Stedinger, J.R., Sule, B.F., and Loucks, D.P. (1984), *Stochastic Dynamic Programming Models for Reservoir Operation Optimization.* Water Resources Research, Vol. 20, No. 11, PP. 1499-1505.
- Evidence from Iran, *European Journal of Scientific Research.*, Vol.43 No.4, pp. 495-506
10. Karamouz, M., and Vasiliadis, H. (1992) A Bayesian Stochastic Optimization of Reservoir Operation Using Uncertain Forecast. *Water Resources Research*, Vol. 28, No. 5, PP. 1221-1232.
11. Kawashima, S., Butler, T. J., Annandale, G. W., Shah, F. (2003) *Reservoir Conservation: RESCON Model and User Manual.* USA, 2003.
12. Mahmood K. (1987) *Reservoir sedimentation: impact, extent and mitigation,* Technical paper No. 71, World Bank, Washington DC.
13. Mohan, S., Raipure, M. (1992). Multi-objective Analysis of Multi-reservoir System, *Journal of Water Resources Planning and Management*, Vol. 118, No. 4, P. 356-370.
14. Pitt J. D. and Thompson (1984), *The impact of sediment on reservoir life,* Proc. Conf. on